XXVII, № 6, 1974

НЕОРГАНИЧЕСКАЯ И АНАЛИТИЧЕСКАЯ ХИМИЯ

УДК 546.33

АДСОРБЦИОННОЕ И ЭЛЕКТРОННО-МИКРОСКОПИЧЕСКОЕ ИССЛЕДОВАНИЕ ИЗМЕНЕНИЯ СТРУКТУРЫ НАТРИЕВЫХ ЕРЕВАНИТОВ С УМЕНЬШЕНИЕМ СОДЕРЖАНИЯ СОДЫ

М. Г. МАНВЕЛЯН, Э. Б. ОГАНЕСЯН, К. Б. ОГАНЕСЯН и М. С. ГАСПАРЯН Институт общей и неорганической химии АН Армянской ССР, Ереван Поступило 16 V 1973

Проведено адсорбционное и электронно-микроскопическое исследование структуры натряевого ереванита-25. Показано, что его скелет имеет бидисперское строение—сочетание кристаллической структуры Na₂CO₃ с корпускулярной структурой кремнезема, покрытой содовой оболочкой. Уменьшение содержания соды в ереваните-25 (промывка водой) приводит к увеличению удельной поверхности (S) от 1,4 до 340 мг²/г, полное удаление соды путем кислотной обработки повышает ее до 437 мг²/г. Для подтверждения справедливости предложенного механизма формирования структуры натриевого ереванита-25 исследован ряд модельных образцов, полученных путем мокрого и сухого смешения кремнезема с содой.

Рис. 3. табл. 1. библ. ссылок 12.

Одним из продуктов комплексной переработки нефелиновых сиенитов по способу [1,2] является натриевый ереванит, представляющий собой омесь аморфного кремнезема с содой [1,5].

В настоящей работе проводится адсорбционное и электронно-микроскопическое исследование структуры натриевых ереванитов с различным содержанием соды. В качестве исходного образца был взят ереванит-25 опытно-заводского производства, последовательной промывкой которого производилось изменение соотношения кремнезема и соды. Снижение содержания Na₂CO₃ до 10% происходило достаточно легко и быстро, дальнейшее удаление соды требовало многократной промывки при длительной выдержке в воде. Таким путем было снижено содержание соды в ереванитах от 25 до 4,2%. Образец с меньшим содержанием соды удалось получить лишь после кислотной обработки (степень чистоты 10⁻³ % в пересчете на Na₂O). Все образцы после соответствующей подготовки [6] просматривались в электронном микроскопе. Величина S рассчитывалась из изотерм адсорбции криптона [7].

В таблице и на рис. 1 приведены характеристики исследуемых образцов и кривая зависимости S от процентного содержания соды.

Таблица

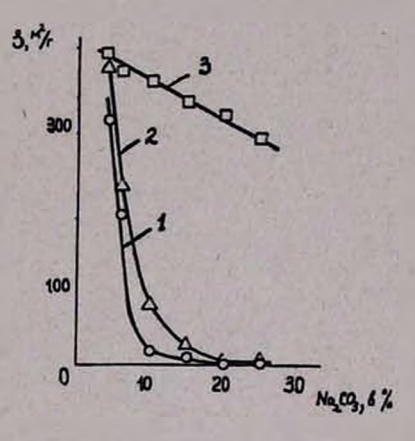
Характеристики исследуемых образцов

| Образцы | Зависимость S (м²/г) от содержания соды (°/о) | | | | | | |
|--|---|-----|------|-------|-------|-----|------|
| | 25 | 20 | 15 | 10 | 6 | 4,2 | 10-3 |
| Натриеный ереванит | 1,4 | 1,8 | 9,4 | 17,6 | 206 | 340 | 437 |
| Смесь SiO ₂ и Na ₂ CO ₃ покрая модель | 3,1 | 4,4 | 25,4 | 81,3 | 245 | 413 | _ |
| Смесь SiO ₂ II Na ₂ CO ₃ кухая модель | 316,7 | 348 | 366 | 395,4 | 407,8 | 431 | - |

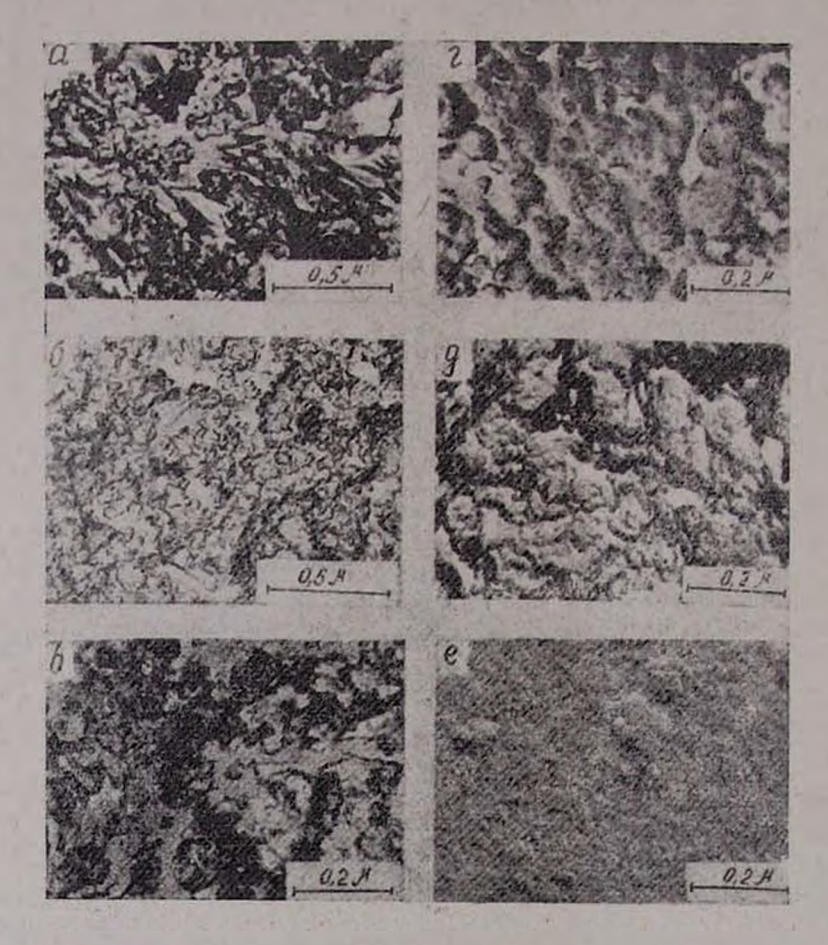
* При величине посадочной площадки молекулы криптона в плотном монослое $\omega_{K_x}=21.5~{\rm \AA}^2$ [7].

Как видно из таблицы и рис. 1 (кр. 1), уменьшение содержания соды в ереваните-25 приводит к росту S тем большему, чем выше степень отмывки.

Рис. 1. Зависимость величины удельной поверхности S от содержания соды в натриевых ереванитах ($^{0}/_{0}$): 1 — натриевый ереванит; 2 — смесь SiO_{2} и $Na_{2}CO_{3}$ "мокрая модель"; 3—смесь SiO_{2} и $Na_{2}CO_{3}$ "сухая модель".



Электронно-микроокопическое исследование показывает, ванит-25 имеет бидиопероное строение скелета-сочетание лической структуры, локально сосредоточенной в форме «друз», с корпускулярной структурой (рис. 2а). Форма корпускул, образующих губчатый скелет, деформирована, размер частиц~500-1000 Å, размер кристаллов 2000-4000 Å. Такую же структуру имеет ереванит-20 (рис. 2a). Для ереванита-15 характерно отсутствие кристаллических скоплений (рис. 2в); губчатая структура образца как бы процита плотными образованиями в форме дендритов. На снимке прооматривается более мелкозернистая структура, из которой состоят крупные, сросщиеся апрегаты-элементы, образующие губчатую структуру. Снижение содержания соды до 10% приводит к изменению морфологии исходного (рис. 2а и 2г): кристаллические образования отсутствуют, образец имеет не губчатое, а глобулярное строение скелета. Мелкодисперсная глобулярная структура как бы покрыта пленкой, сквозь которую просматриваются силуэты плотносросшихся частиц с $D_{\rm a.m.} \sim 100$ Å, размер агрегированных частиц примерно 1000 Å. При дальнейшей отмывке образца агрегация глобул заметно уменьшается (6% Na_2CO_3 рис. 2д) и, наконец, образец, содержащий 4,2% соды, имеет однородное глобулярное строение скелета с $D_{\bullet, \, \mathsf{M}}$. \sim 100—70 Å (рис. 2е). Такое же строение скелета, характерное для всех высоколисперсных силикагелей [8,9], имел кремнезем с 10^{-3} % общей чистоты.



Ряс. 2. Электронно-микроскопические снимки самооттененных платиной угольных реплик натриевых ереванитов, содержащих соду ($^{\circ}/_{\circ}$): а — 25, б — 20, в — 15, г — 10, д — 6, е — 4,2 (а также кремнезем 10^{-3} $^{\circ}/_{\circ}$ общей чистоты).

Полученные результаты дают возможность представить структуру натриевого ереванита-25 и те изменения в ней, которыми сопровождается процесс отмывки.

Видимые на снимке (рис. 2a) кристаллические окопления являются кристаллами Na_2CO_3 , сросшимися в форме «друз». Однако, исходя из величины поверхности образда S=1,4 M^2/a , это не единственная форма нахождения соды в ереваните-25. При значениях S чистого SiO_2 и тон-

кодисперсного порошка Na₂CO₃, равных 437 и 0,44 м²/г, соответственно, замена в 1 г кремнезема 0,25 г содой не может привести к столь резкому снижению поверхности (если даже принять, что S соды равна нулю, то и тогда S 0.75 г чистого SiO₂ должна составить 330 $M^2/2$). Такое значение S ереванита-25 возможно в том случае, если представить, что вся поверхность глобулярного скелета кремнезема покрыта содовой оболочкой (блокировка высокоразвитой поверхности кремнезема содой). По сути дела величина $S = 1.4 \text{ м}^2/\text{г}$ является поверхностью соловой оболочки с рельефом, наблюдаемым на рис. 2а, б. По технологии получения [1,2] ереванит-25 выделяется в содовом растворе и содержит 42-43% влаги, поэтому сода в общей массе влажного продукта находится в виде раствора, который равномерно покрывает поверхность каждой глобулы кремнезема, заполняя объем пор. Сушка ереванита-25 приводит к постепенному пересыщению содового раствора, в результате чего в объем крупных транспортных пор выпадают мелкие кристаллы Na₂CO₂, а на поверхности глобул и в объеме мелких пор (зазоры между контактирующими глобулами [10]) при полном удалении воды образуется твердая содовая оболочка, склеивающая множество мелких глобул в крупные агрегаты. Такое равномерное покрытие каждой индивидуальной глобулы, а потому и всего скелета кремнезема приводит к получению гомогенной смеои, имеющей столь малое значение S. При отмывке ереванита-25 до 15% содержания соды в первую очередь растворяются и вымываются окопления кристаллов Na₂CO₃, не связанных непосредственно с частицами кремнезема. Содовая оболочка при этом, по-видимому, не нарушается, т. к губчатая структура сохраняется; величина S иэменяется незначительно. Дальнейшая отмывка образца (15% и ниже Na₂CO₃) приводит к постепенному растворению—утончению и, наконец, полному разрушению содовой оболочки. На снимках по мере отмывки образца все заметнее прооматривается медкодиопероная глобульная структура кремнезема: губчатая структура переходит в глобулярную. Резкий рость поверхности от 9,4 до 340 м2/г можно объяснить началом и концом процесса растворения содового покрова. Начиная с ереванита-6, натрий в образце находится в связанном, по-видимому, хемосорбированном состоянии $\left(-\mathrm{Si-ONa}\right)$ [11, 12]. Этим можно объяснить трудность

удаления Na₂CO₃ при отмывке ереванитов с низким оодержанием соды (длительная водная и кислотные обработки). образце находится в связанном, по-видимому, хемосорбированном со-

Для подтверждения справедливости изложенного механизма структурообразования наприевых ереванитов было проведено исследование на модельных образцах, полученных смешением чистого кремнезема и тонкодисперсного порошка соды (дисперсность компонентов <10 мк). Изучались образцы «мокрой» модели, полученные пропиткой кремнезема раствором содынужной концентрации, и «сухой» модели—растиранием кремнезема с содой в атмосфере азота (SiO₂ и Na₂CO₃ предварительно высушивались при 200°, контакт с воздухом иоключался).

На рис. За видно, что «сухая» модель ереванита-25 имеет неоднородное строение; в глобулярном скелете кремнезема сода находится в виде массивных осколков. Такое же распределение соды в SiO₂ наблюдается и у модели с 10% содержанием Na₂CO₃ (рис. 3в). Величина S образцов «сухой» модели, по мере увеличения содержания соды, уменьшается (табл.), но незначительно, и имеет, как и следовало ожидать, линейный характер (рис. 1, кр. 3). Добавка к кремнезему 25 и 10% соды приводит к снижению S до 316 и 395 м²/г.

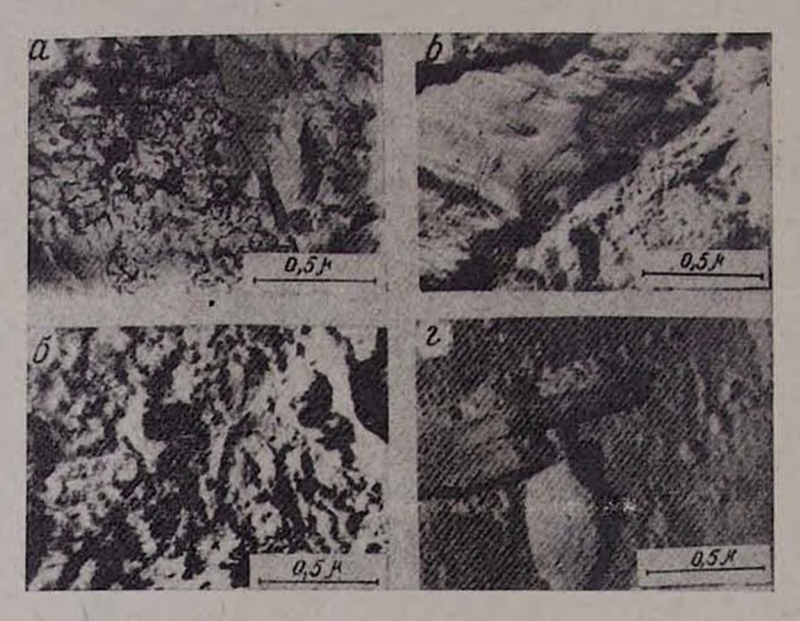


Рис. 3. Электронно-микроскопические снимки самооттененных платиной угольных реплик модельных образцов, содержащих соду ($^{\circ}$ /₀): а — 25; б — 10 (образцы "сухой" модели); в — 25; г — 10 (образцы "мокрой" модели).

Пропитка кремнезема раствором соды («мокрая» модель 25% соды) приводит к агрегации мелких сферических частиц (рис. За) в крупные агрегаты. В общем виде морфология этого образца подобна ереваниту-25, однако распределение кристаллов Na₂CO₃ менее однородно. Даже при самом тщательном перемешивании и пропитке кремнезема содовым раствором не удается получить той степени гомогенности, которая наблюдается у ереванитов и неоднородность распределения увеличивается при уменьшении содержания соды в смеси (ср. рис 2а-в, За, б). На это указывают и значения S. При одинаковом ходе кривых зависимости S от процентного содержания соды для ереванитов и модельных образцов (рис. 1, кр. 1,2) поверхность последних несколько больше и эта разность увеличивается с уменьшением содержания соды.

Таким образом, полученные результаты подтверждают предложенный механизм структурообразования натриевых ереванитов. Основным фактором, определяющим высокую степень гомогенности смеси SiO₂ и

Na₂CO₃ в ереванитах, является среда—содовый раствор, из которого выделяется продукт. Так как однородность распределения компонентов по сравнению с искусственно приготовленными смесями значительно выше, применение ереванитов в производстве стекол более предпочтительно как в технологическом, так и в технико-экономическом отношении (ликвидируется ряд трудоемких операций приготовления шихты, ускорение варки шихты, улучшение качества стекол).

ՆԱՏՐԻՈՒՄԱԿԱՆ ԵՐԵՎԱՆԻՏՆԵՐԻ ՈՒՍՈՒՄՆԱՍԻՐՈՒԹՅՈՒՆ ԱԴՍՈՐԲՑԻՈՆ ԵՎ ԷԼԵԿՏՐՈՆԱՅԻՆ ՄԱՆՐԱԴԻՏ ՄԵԹՈԴՆԵՐՈՎ

Մ. Գ. ՄԱՆՎԵԼՑԱՆ, Է. Բ. ՀՈՎՀԱՆՆԻՍՑԱՆ, Կ. Բ. ՀՈՎՀԱՆՆԻՍՑԱՆ և Մ. Ս. ԳԱՍԳԱՐՑԱՆ

Կատարված է նատրիումական երևանիտի կառուցվածքի ադսորբցիոն և էլեկտրոնա-մանրադիտակային հետազոտություն, ինչպես նաև տարբեր քանակությամբ տոդայի տւսումնասիրություն տարբեր երևանիտների կմախքի կառուցվածքի վրա պատոճակության փոփոխության ազդեցությունը։ Յույց է տրված, որ նատրիումական երևանիտ-25-ը, իրենից ներկայացնելով սիլիկահողի և սոդայի խառնուրդ, ունի կմախքի բիդիսպերս կառուցվածք, որտեղ Na₂CO₃-ի խոշոր բյուրեղները լոկալ ձևով տեղավորված են սիլիկահողի կորպուսկուլար կատուցվածքի մեջ,

Սոդայի լրիվ հեռացումը թթվային մշակման ճանապարհով նպաստում է տեսակարար մակերեսը 1,4-ից մինչև 440 մ²/գ մեծանալուն, որը, հավանաբար, կապված է խեմոսորբված նատրիումի հեռացման հետ։

ADSORBTION AND ELECTRON-MICROSCOPIC STUDIES OF YEREVANITE

M. G. MANVELIAN, E. B. HOVHANNISSIAN, K. B. HOVHANNISSIAN and M. S. GASPARIAN

The adsorption and electron-microscopic studies of yerevanite has been performed. The influence of changes of carbonate content on the structural characteristics and on the skeleton formation of different yerevanites has been studied. It has been shown that yerevanite-25 which is a mixture of Na₂CO₃ and SiO₂ is a bidispersed skeleton formed by locally disperced crystalline structures of Na₂CO₃ in silica structures.

ЛИТЕРАТУРА

- 1. М. Г. Манвелян, Авт. свид. № 72427, 25, 111 (1948).
- 2. М. Г. Манвелян, Сб. Химия и технология глянозема, Тр. Всесоюзн. совещания, Ереван, 1964.
- 3. О. Б. Африкян, Канд. дисс., Ереван, 1969.

- 4. М. Г. Манвелян, Н. И. Кузьмина, В. А. Вирабян, Стекло и керамика, № 5, 24 (1964).
- 5. М. Г. Манвелян, С. Б. Бадалян, Арм. хим. ж., 25, 75 (1972).
- 6. М. Г. Манвелян, Э. Б. Оганесян, К. Б. Оганесян, М. С. Гаспарян, Арм. хим. ж., 26. 378 (1973).
- 7. А. В. Киселев, А. Я. Королев, Р. С. Петрова, К. Д. Щербакова, Колл. ж., 22, 672 (1960).
- 8. В. М. Лукьянович, Е. А. Леонтьев, Сб. «Методы исследования структуры высокодисперсных и пористых тел», Изд. АН СССР, М., 1958, стр. 19; ДАН СССР, 103, 1093 (1955).
- 9. А. В. Киселев, Ю. С. Никитин, Э. Б. Оганесян, Колл. ж., 28, 662 (1966).
- 10. А. П. Карнаухов, Сб «Методы исследования структуры высокодисперсных и пористых тел», Изд. АН СССР, М., 1958, стр. 78.
- 11. М. Г. Манвелян, К. С. Абаджян, В. О. Микаэлян, А. Б. Налбандян, Арм. хим. ж., 24, 1069 (1971).
- 12. А. П. Душина, В. Б. Алексовский, Силикагель—неорганический катионит, Госхчмиздат, Л., 1963.